

## СТАЛКИВАЮЩИЕСЯ ПОЛЮСА И РАСТУЩИЕ СЕЧЕНИЯ

Н. П. Зотов, Н. И. Старков, В. А. Царев

Рост полных сечений и другие особенности  $pp$ -рассеяния, обнаруженные в экспериментах при высоких энергиях, обсуждаются на основе предположения о столкновении комплексных полюсов Редже.

В настоящей статье мы обсуждаем возможность описания закономерностей, обнаруженных в  $pp$ -рассеянии при высоких энергиях [1-6]: а) рост полного сечения  $\sigma_{tot}(s)$  в области  $s \sim 500 - 3000 \text{ Гэв}^2$ , б) изменение знака  $\alpha(s) = \text{Re}T(s, 0)/\text{Im}T(s, 0)$  в области  $s \sim 5 \cdot 10^2 \text{ Гэв}^2$ , в) замедление роста параметра наклона дифракционного конуса  $b(s)$ , в предположении [7], что ведущими особенностями в  $j$ -плоскости парциальной амплитуды перекрестного канала являются комплексно-сопряженные полюса. Обозначая вклад других особенностей через  $F(s, t)$ , запишем амплитуду рассеяния в виде:

$$T(s, t) = \beta s^a e^{-i\pi a/2} + \beta^* s^{a^*} e^{-i\pi a^*/2} + F(s, t), \quad (1)$$

где  $a = a_R + i a_I$  и  $\beta = |\beta| e^{i\phi}$  - траектория и вычет комплексного полюса.

Рассмотрим вначале случай, когда при  $t = 0$  полюса  $a$  и  $a^*$  сталкиваются, так, что при  $j = 1$  возникает полюс второго порядка<sup>1)</sup>. Поскольку столкновение двух полюсов приводит к корневой особенности для траектории и вычета, будем предполагать, что при  $t \rightarrow 0$   $a_I = \alpha\sqrt{-t}$  и  $\arg h(t) = b\sqrt{-t}$ , где  $h = 2i a_I \beta$  и  $|h(0)| \equiv h \neq 0$ . Для описания области низких энергий ( $s \lesssim 10^2 \text{ Гэв}^2$ ) учтем также вклад вторичных траекторий в форме  $F = A s^{1/2}$ , где  $A$  - комплексная величина, учитывающая отклонение от точного вырождения вкладов  $i = \rho, f, \omega, A_2$  - полюсов и все  $\alpha_i(0)$  предполагаются равными  $1/2$ . В этом случае:

$$\sigma_{tot}(s) = h \frac{b}{\alpha} + h \ln s + \text{Im} A s^{-1/2}, \quad (2)$$

$$\alpha(s) = \alpha_{tot}^{-1}(s) \left( \frac{\pi}{2} h + \text{Re} A s^{-1/2} \right), \quad (3)$$

$$b(s) = b_0 + b_1 \ln s + \xi R(s), \quad (4)$$

где величина  $\xi$  связана с отношением параметров наклона вторичных полюсов и полюса  $a$ , а  $R(s)$  может быть вычислена явно, если известны параметры, входящие в (2) и (3). Семь неизвестных параметров мо-

<sup>1)</sup> Подобное явление имеет место, например, в квазиполусной модели [8] в том случае, если точка столкновения полюсов не совпадает с точкой ветвления "экранирующей" полюса.

дели мы определяли с помощью подгонки к экспериментальным данным последовательно для  $\sigma_{tot}(s)$  [1-3],  $\alpha(s)$  [1, 2, 4],  $b(s)$  [2, 4-6]. Значения  $\chi^2$  оказались равными  $\chi_\alpha^2 = 23,7$  (на 41 степень свободы),  $\chi_b^2 = 32,5$  (на 20 степеней свободы),  $\chi_b^2 = 52,4$  (на 33 степени свободы) при  $h = \frac{1}{2}$ ;  $h(b/a) = 25,0$ ;  $\text{Im} A = 39,9$ ;  $\text{Re} A = -82,8$ ;  $b_0 = 10,9$ ;  $b_1 = 0,24$  и  $\xi = -3,2$ . Сравнение с экспериментом показано на рис. 1, 2, 3 (сплошная кривая). Следует подчеркнуть, что логарифмический рост сечения, полученный в данной модели, хорошо согласуется с данными в области  $s \approx 500 - 3000 \text{ Гэв}^2$ . Тот факт, что теоретические значения на рис. 1 растут несколько медленнее экспериментальных связан с нашим желанием описать всю совокупность экспериментальных данных вплоть до  $p = 10 \text{ Гэв}/c$  при конкретном выборе  $F$  с  $\alpha_i(0) = 1/2$ .

Упомянем здесь еще об одной проблеме, к которой может иметь отношение рассматриваемая модель двойного полюса. Мы имеем в виду различные значения эффективной  $\rho$ -траектории, найденные из измерений  $\Delta\sigma \equiv \sigma(\pi^-p) - \sigma(\pi^+p)$  ( $\alpha_\rho(0) = 0,67 \pm 0,06$  [9]) и  $(d\sigma/dt)_{t=0}(\pi^-\pi^+n)$  ( $\alpha_\rho(0) = 0,58 \pm 0,02$  [10]). В данной модели при  $\ln s \sim \ln s_0 \equiv |b/a|$  и  $b/a < 0$ :

$$\Delta\sigma = 2hs \frac{a_R^{\rho-1}}{R} (b/a + \ln s) \sim s \frac{a_R^{\rho-1}}{R} \ln s / s_0.$$

$$\left(\frac{d\sigma}{dt}\right)_{t=0} = \frac{1}{8\pi} h^2 s \frac{2a_R^{\rho-2}}{R} \left[ \frac{\pi^2}{4} + (b/a + \ln s)^2 \right] \sim s \frac{2a_R^{\rho-2}}{R}$$

так, что эффективная траектория в  $\Delta\sigma$  выше, чем в  $d\sigma/dt$  за счет фактора  $\ln s / s_0$ <sup>1)</sup>. Рассмотрим теперь другой случай, когда столкновение полюсов возникает при  $t > 0$ . Тогда при  $t = 0$   $\alpha_I \neq 0$  (мы по-прежнему полагаем  $\alpha_R(0) = 1$ ) и условие  $\sigma_{tot}(s) \geq 0$  означает, что наряду с комплексной парой необходимо учитывать обычный полюс Померанчука с  $\alpha_\rho(0) = 1$  т. е.  $F = \gamma s^{\alpha_\rho} e^{-i\alpha_\rho \pi/2}$ . Тогда:

$$\sigma_{tot}(s) = \gamma + 2|\beta| \left| \text{ch} \frac{\pi\alpha_I}{2} \cos(\phi + \alpha_I \ln s) \right|, \quad (2')$$

$$\alpha(s) = -2|\beta| \left| \text{sh} \frac{\pi\alpha_I}{2} \sin(\phi + \alpha_I \ln s) \right| \sigma_{tot}^{-1}(s), \quad (3')$$

$$b(s) = b_0 + b_1 \ln s + A \sin(\phi + \alpha_I \ln s), \quad (4')$$

где параметр  $A$  зависит от  $d\phi/dt$  (для простоты полагаем  $\alpha_I(t) = \text{const}$  при  $t \approx 0$ ). Из подгонки к экспериментальным данным для  $\sigma_{tot}$  и  $b$  были найдены следующие значения параметров:  $\alpha_I = 0,66$ ;  $\phi = 0$ ;  $\gamma = 41,1$ ;  $|\beta| = 0,85$ ;  $b_0 = 10,9$ ;  $b_1 = 0,096$  и  $A = -1,2$  ( $\chi_\sigma^2 = 16,4$ ;  $\chi_b^2 = 56,6$ ).

<sup>1)</sup> Другие возможности получения разных эффективных траекторий обсуждались нами в работе [11].

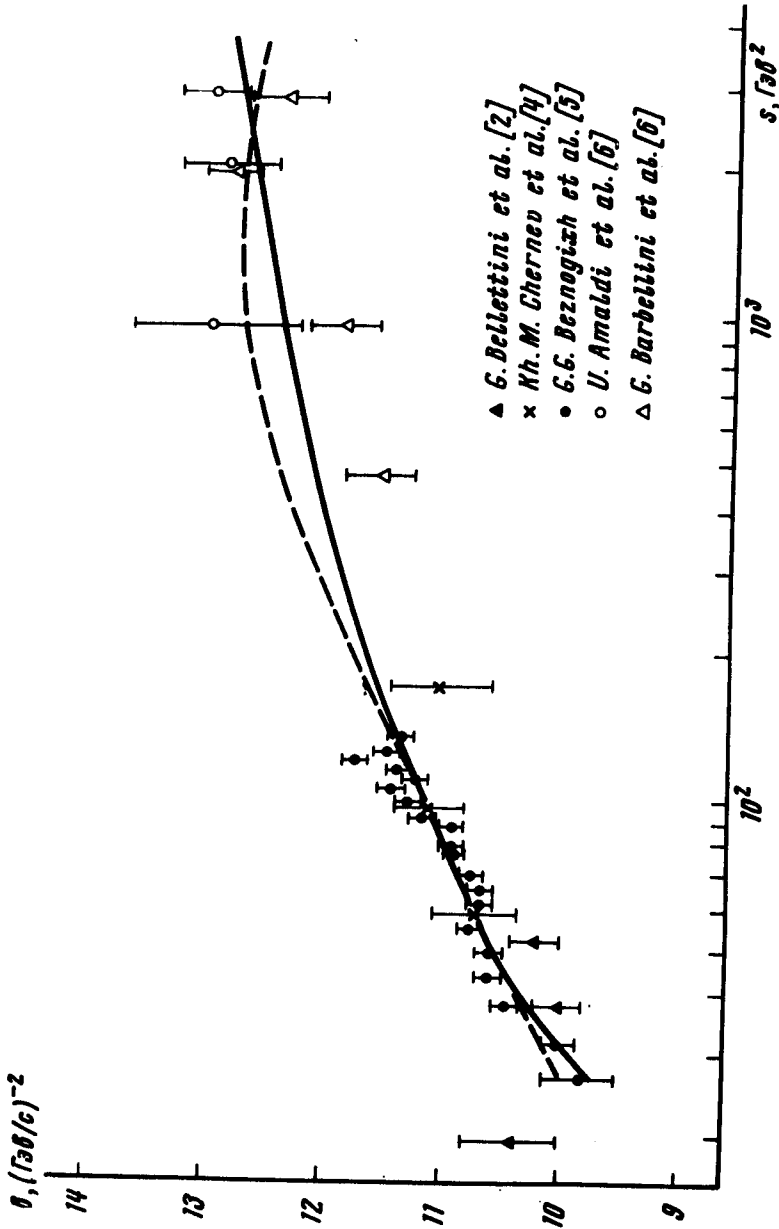


Рис. 1. Полное сечение  $\sigma_{\text{дв}}$ -рассеяния: — модель "двойного полюса", - - модель КТР

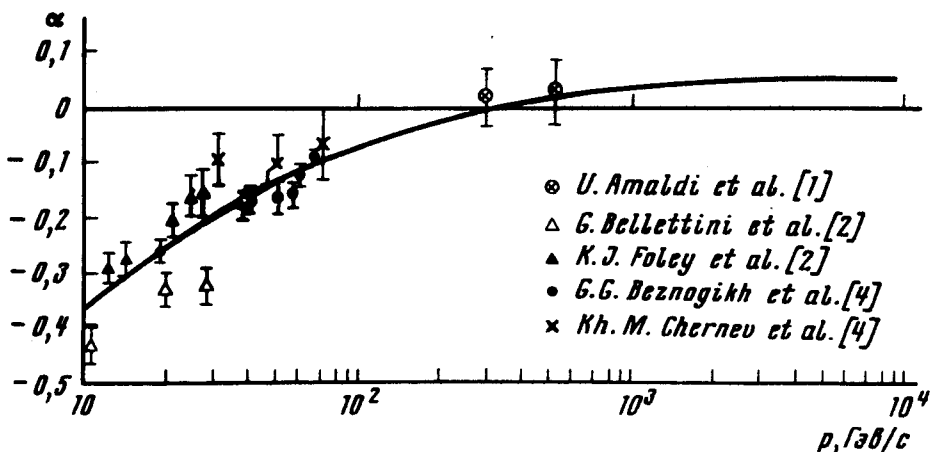


Рис. 2. Отношение  $\alpha(s) \equiv \text{Re } T(s, 0) / \text{Im } T(s, 0)$   $pp$ -рассеяния в модели "двойного полюса"

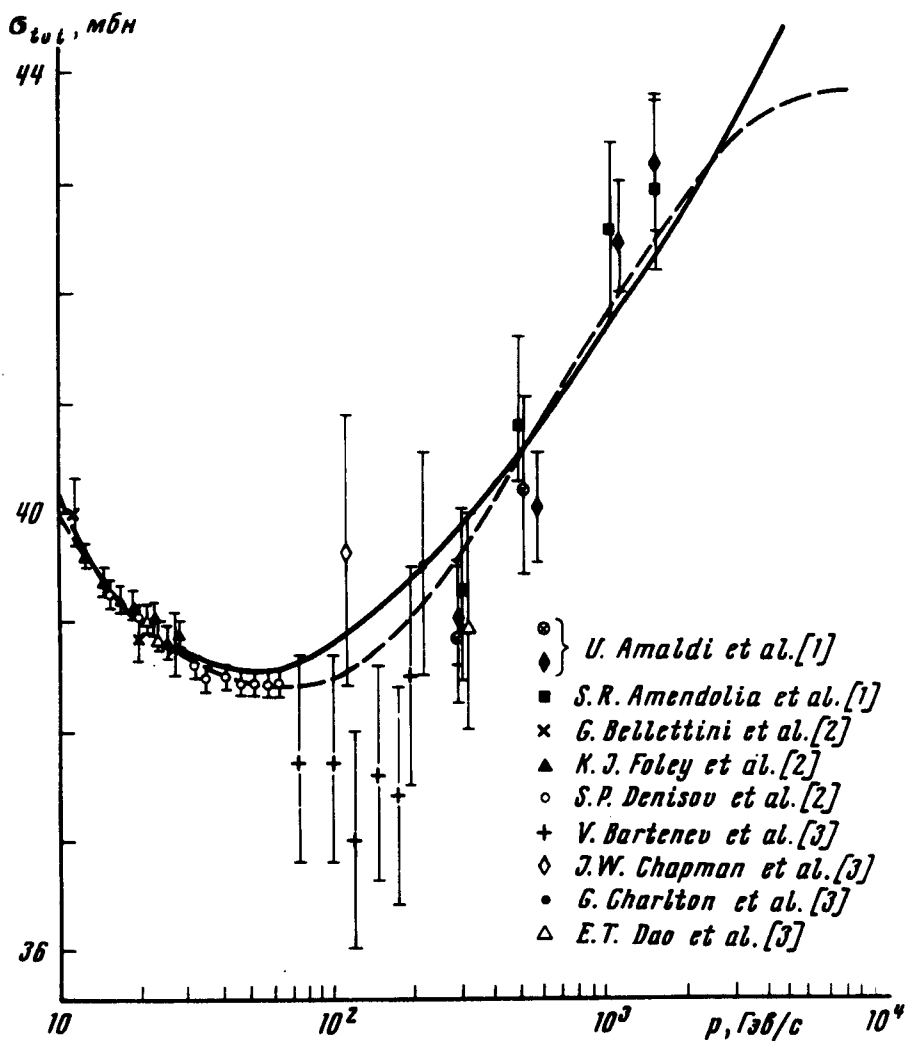


Рис. 3. Параметр наклона  $pp$ -рассеяния: — модель "двойного полюса", - - модель КПП

Поведение  $\alpha(s)$  качественно согласуется с экспериментальными данными. Количественное согласие может быть получено при учете вторичных траекторий. Рост сечения в области  $s > 500 \text{ Гэв}^2$  в данном случае связан с ростом косинуса ( $\sim \alpha_f^2 \ln^2 s$ ) после прохождения минимума при  $\phi + \alpha_f \ln s = \pi/2$ . Максимум  $\sigma_{\text{tot}}$ , равный 43,8 мбн, достигается при  $s = 1,5 \cdot 10^4 \text{ Гэв}^2$ . Осцилляции, возникающие в этой модели, могут быть сделаны медленно вымирающими, если выбрать  $\alpha_R(0) = 1 - \epsilon$  ( $\epsilon \geq 0$ ) или вместо полюсов рассмотреть комплексные точки ветвления.

Таким образом, обе рассмотренные модели позволяют описать существующие экспериментальные данные по  $pp$ -рассеянию, приводя к различному поведению при больших энергиях: росту  $\sigma_{\text{tot}}$  в случае двойного полюса и осцилляциям для комплексной пары.

Физический институт  
им. П. Н. Лебедева  
Академии наук СССР

Поступила в редакцию  
13 августа 1973 г.

### Литература

- [1] U. Amaldi et al. Phys. Lett., 43B, 231, 1973; 44B, 112, 1973; S.R. Amendolia et al. Phys. Lett., 44B, 119, 1973.
- [2] G. Bellettini et al. Phys. Lett., 14, 164, 1965; K.J. Foley et al. Phys. Rev. Lett., 19, 857, 1967; S.P. Denisov et al. Phys. Lett., 36B, 415, 1971.
- [3] V. Bartenev et al. Phys. Rev. Lett., 29, 1755, 1972; J.W. Chapman et al. Phys. Rev. Lett., 29, 1686, 1972; G. Charlton et al. Phys. Rev. Lett., 29, 515, 1972; E.T. Dao et al. Phys. Rev. Lett., 29, 1627, 1972.
- [4] G.G. Beznogikh et al. Phys. Lett., 39B, 411, 1972; Kh. M. Chernev et al. Phys. Lett., 36B, 266, 1971.
- [5] G. G. Beznogikh et al. Phys. Lett., 30B, 274, 1969.
- [6] U. Amaldi et al. Phys. Lett., 36B, 504, 1971; G. Barbellini et al. Phys. Lett., 39B, 663, 1972.
- [7] В.А. Царев. Краткие сообщения по физике (ФИАН), №8, 1973.
- [8] В.А. Царев. ЯФ, 18, 425, 1973; Препринт ФИАН, №69, 1973.
- [9] Ю.П. Горин и др. ЯФ, 17, 309, 1973.
- [10] V.N. Bolotov et al. Report at XVI Inter. Confer. on High Energy Physics, Batavia, 1972.
- [11] N.I. Starkov, V.A. Tsarev, N.P. Zotov, P.N. Lebedev. Physical Institute preprint №103, 1973.